

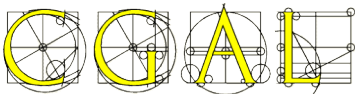
Modèle topologique générique pour la simulation physique

Guillaume Damiand, Elsa Fléchon, Fabrice Jaillet, Florence Zara

Université de Lyon, CNRS, LIRIS, UMR5205, F-69622 France

<http://liris.cnrs.fr>

<http://www.cgal.org>



Contexte

Simulation physique : besoins

- Décrire les objets subdivisés : cellules, incidences
- Traiter les changements topologiques
- Contrôler la validité des objets
- Mélanger différent type de cellules

Modèles existants

B-Rep pour la modélisation géométrique

Représentation des objets par leurs bords
flexible : nombreuses opérations locales
cellules non régulières

Structure de données B-Rep

- ☰ Une des plus utilisées : Halfedge data structure (HDS)
 - seulement 2D
- ☰ Généralisation dD : les **cartes combinatoires**

CGAL : Computational Geometry Algorithms Library

Bibliothèque C++ de géométrie algorithmique

Nombreux avantages :

- ▣ importante : nombreuses structures de données et algorithmes
- ▣ libre : LGPL3+/GPL3+
- ▣ reconnue : utilisateurs, communauté
- ▣ robuste : prédicats et/ou noyaux exacts

Principales structures de données pour représenter des objets

	2D	3D	nD
Simplicial	TDS_2 ✓	TDS_3 ✓	≈
Cellulaire	HDS & Polyhedron_3 ✓	✗	✗

Plan

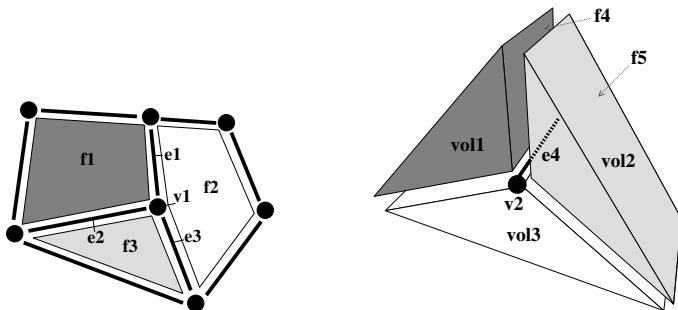
- 1 Les Cartes Combinatoires
- 2 Modules CGAL Développés
- 3 Modèle Physique
- 4 Conclusion / Travaux Futurs

1. Les Cartes Combinatoires

- 1 Les Cartes Combinatoires
- 2 Modules CGAL Développés
- 3 Modèle Physique
- 4 Conclusion / Travaux Futurs

Objectif

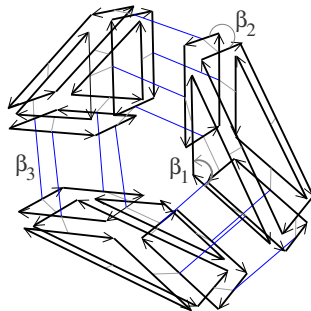
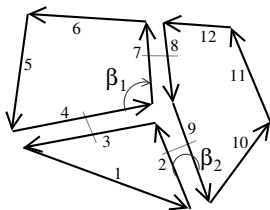
Représenter des objets dD orientables subdivisés en **cellules**



et relations “topologiques” entre les cellules :
incidence et **adjacence**

Solution

Représenter les objets par leur bords : **brins** et **relations**



Un brin : un morceau d'arête orientée et de chaque i -cellule incidente

Définition Générique

Definition (n -map)

Soit $d \geq 0$. Une d -carte combinatoire, (ou d -carte) est une algèbre $C = (B, \beta_1, \dots, \beta_d)$ où :

- 1 B est un ensemble fini de brins ;
- 2 β_1 est une *permutation partielle* sur B ;
- 3 $\forall i : 2 \leq i \leq d : \beta_i$ est une *involution partielle* sur B ;
- 4 $\forall i, j : 1 \leq i < i + 2 \leq j \leq d : \beta_i \circ \beta_j$ est une *involution partielle*.

- ▮ permutations/involutions **partielles** : objets à bords, brins liés à \emptyset
- ▮ contraintes de cohérence : *analogue combinatoire* des variétés topologiques

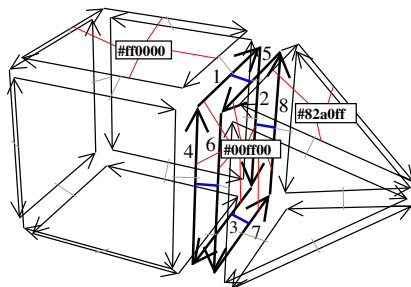
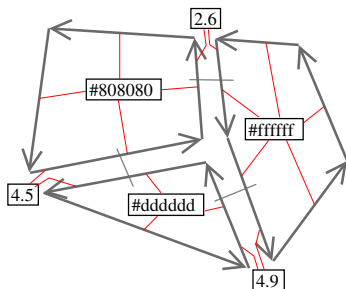
Cellules et Attributs

Chaque cellule : ensemble de brins (notion d'orbite)

ex. en 2D : 2-cellule = $\langle \beta_1 \rangle$, en 3D : 2-cellule = $\langle \beta_1, \beta_3 \rangle$

Pour associer des **informations** aux cellules

i-attributs associés aux *i*-cellules

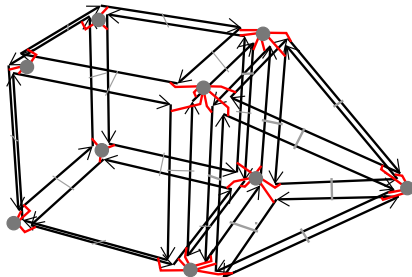
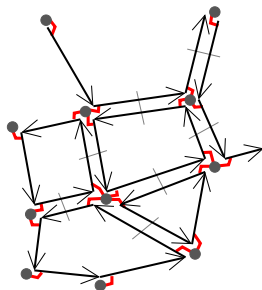


Plongement des Cartes

Pour associer de la “géométrie” aux cartes

Chaque sommet doit avoir un point associé (en dimension $d2$)

⇒ c’est “juste” un 0-attribut particulier contenant un point



Attention : d et $d2$ ne sont pas forcément liés

On parle de **complexe cellulaire linéaire**

2. Modules CGAL Développés

- 1 Les Cartes Combinatoires
- 2 Modules CGAL Développés**
- 3 Modèle Physique
- 4 Conclusion / Travaux Futurs

Structure des Modules

2 modules : Combinatorial map et Linear cell complex

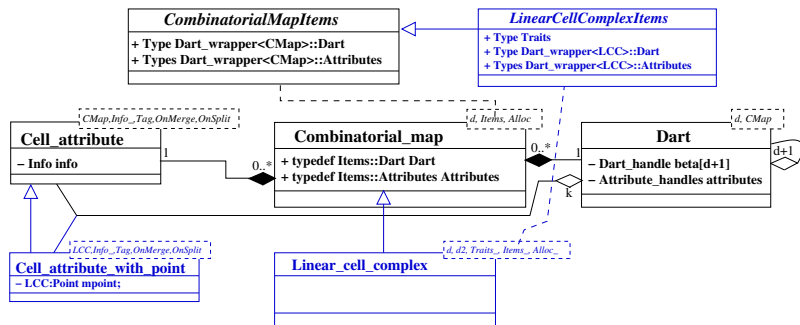


Diagramme UML des principales classe des modules `Combinatorial map` en noir et `Linear cell complex` en bleu. k est le nombre d'attributs *non void*.

Exemples de définition de complexes cellulaires linéaires

```
typedef CGAL::Linear_cell_complex<2> Plane_graph;  
typedef CGAL::Linear_cell_complex<2,3> Polyhedron_3;  
typedef CGAL::Linear_cell_complex<3> LCC_3;
```

```
struct Myitem {  
  template<class CMap>  
  struct Dart_wrapper {  
    typedef CGAL::Dart<3, CMap> Dart;  
    typedef CGAL::Cell_attribute_with_point< CMap, int> Myattr0;  
    typedef CGAL::Cell_attribute< CMap, double> Myattr2;  
    typedef CGAL::cpp0x::tuple<Myattr0,void,Myattr2> Attributes;  
  };  
};  
typedef CGAL::Exact_predicates_inexact_constructions_kernel EPIC;  
typedef CGAL::Linear_cell_complex_traits<3,EPIC> mytraits;  
typedef CGAL::Linear_cell_complex<3,3,Mytraits,Myitem> My_lcc_3;
```

Exemples de définition de complexes cellulaires linéaires

```
typedef CGAL::Linear_cell_complex<2> Plane_graph;  
typedef CGAL::Linear_cell_complex<2,3> Polyhedron_3;  
typedef CGAL::Linear_cell_complex<3> LCC_3;
```

```
struct Myitem {  
  template<class CMap>  
  struct Dart_wrapper {  
    typedef CGAL::Dart<3, CMap> Dart;  
    typedef CGAL::Cell_attribute_with_point< CMap, int> Myattr0;  
    typedef CGAL::Cell_attribute< CMap, double> Myattr2;  
    typedef CGAL::cpp0x::tuple<Myattr0,void,Myattr2> Attributes;  
  };  
};  
typedef CGAL::Exact_predicates_inexact_constructions_kernel EPIC;  
typedef CGAL::Linear_cell_complex_traits<3,EPIC> mytraits;  
typedef CGAL::Linear_cell_complex<3,3,Mytraits,Myitem> My_lcc_3;
```

Opérations de Base

■ Créations d'objets de base

```
lcc.make_segment, lcc.make_triangle,  
lcc.make_quadrangle, lcc.make_tetrahedron,  
lcc.make_hexahedron
```

■ Conversion à partir d'autres types CGAL

```
import_from_triangulation_3(lcc, atr),  
import_from_polyhedron_3(lcc, ap)
```


Parcours

Utilisation du concept de `Range` (remplace couple d'itérateurs `begin/end`)

3 intervalles de tous les brins :

- `Dart_range` tous les brins
- `Dart_of_orbit_range<Beta...>` tous les brins de l'orbite `<Beta...>` d'un brin `d0` donné
- `Dart_of_cell_range<i>` tous les brins de la i -cellule contenant un brin donné

2 intervalles d'un brin par i -cellule :

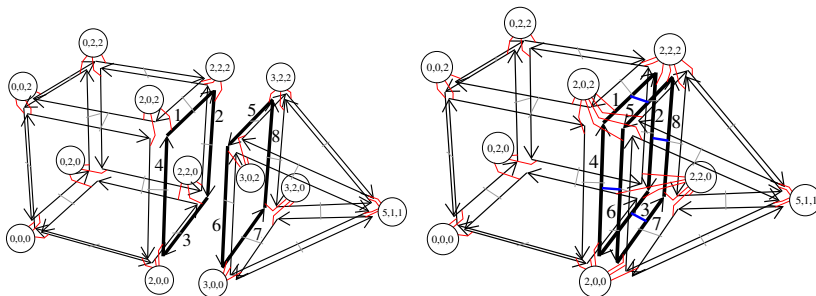
- `One_dart_per_cell_range<i>` un brin de chaque i -cellule
- `One_dart_per_incident_cell_range<i, j>` un brin de chaque i -cellule incidente à une j -cellule donnée

Coutures/Décousures

Objectif : coller deux i -cellules par identification de $(i - 1)$ -cellules

Sens \rightarrow : $\text{sew}\langle 3 \rangle (1, 5)$ (ou $\text{sew}\langle 3 \rangle (2, 8)$, $\text{sew}\langle 3 \rangle (3, 7)$, $\text{sew}\langle 3 \rangle (4, 6)$)

Sens \leftarrow : $\text{unsew}\langle 3 \rangle (1)$ (ou $\text{unsew}\langle 3 \rangle (5)$, $\text{unsew}\langle 3 \rangle (3) \dots$)

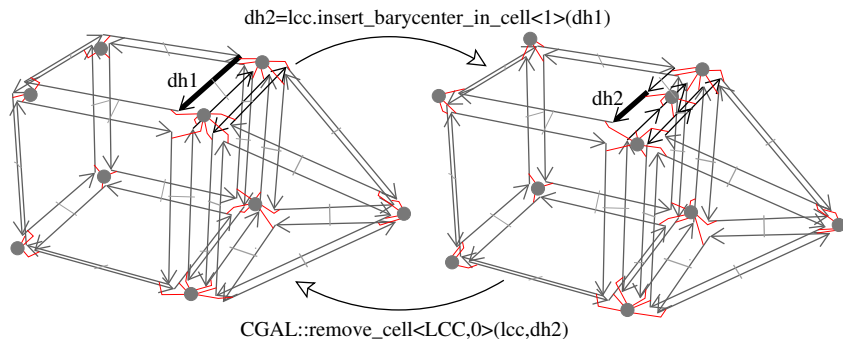


Insertion/Suppression de Cellules

Suppression : 1 seule opération générique `remove_cell<i>`

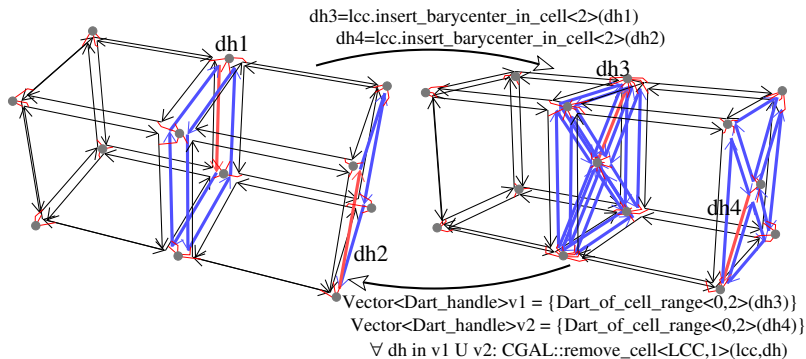
Insertion : 1 opération par dimension (différents paramètres)

Insertion d'un sommet dans une arête (1-cellule)



Insertion/Suppression de Cellules

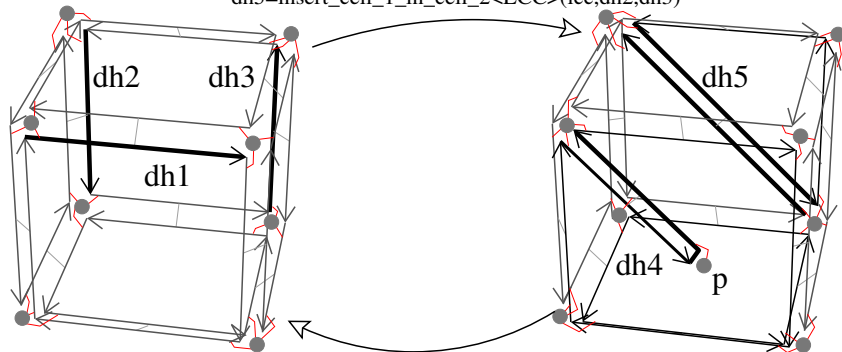
Insertion d'un sommet dans une face (2-cellule)



Insertion/Suppression de Cellules

Insertion d'un arête dans une face
entre deux sommets, ou une arête pendante

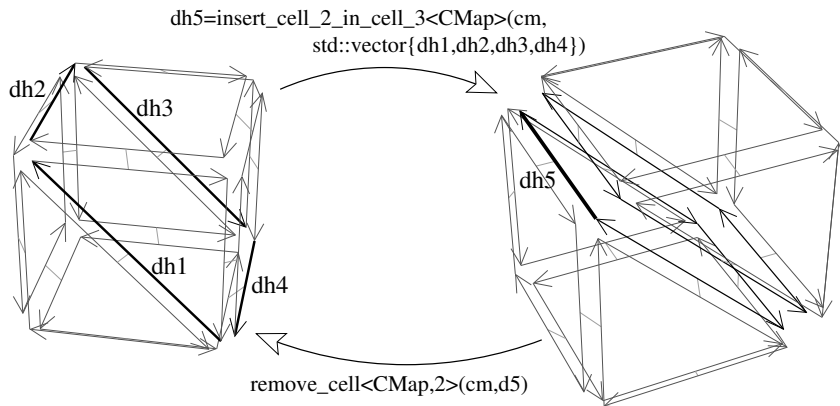
```
dh4=lcc.insert_dangling_cell_1_in_cell_2(dh1,p)
dh5=insert_cell_1_in_cell_2<LCC>(lcc,dh2,dh3)
```



```
remove_cell<LCC,1>(lcc,dh4)
remove_cell<LCC,1>(lcc,dh5)
```

Insertion/Suppression de Cellules

Insertion d'une face dans un volume
le long d'un chemin d'arêtes

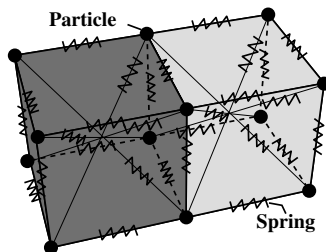


3. Modèle Physique

- 1 Les Cartes Combinatoires
- 2 Modules CGAL Développés
- 3 Modèle Physique**
- 4 Conclusion / Travaux Futurs

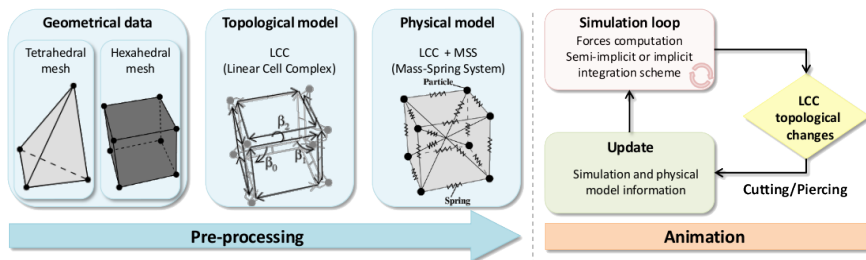
Mass-Spring System (MSS)

Physical model



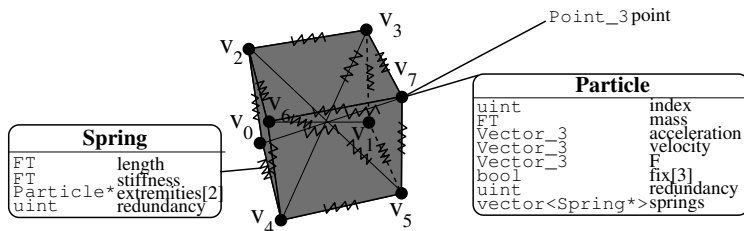
- Set of **particles** connected by **springs**
- Advantages
 - Computational efficiency
 - Algorithmic simplicity
 - Easily implemented on GPU
- Allow topological changes

Overview



- Input file describing geometrical information
- Create LCC
- Calculate and associate all physical information
- Simulation : accumulate forces and integration scheme
- Update information when topology change

Our hybrid model



- LCC + MSS
- Calculate and initialize information for simulation purposes
- Associate
 - 0 – cell with Particle and 3D point
 - 1 – cell with Spring

Simulation loop

Physical model

1. Computation and accumulation forces : external and internal

Spring forces

Force of spring between particle i and j

$$\vec{F}_{ij}(t) = \vec{F}_{ij}^e(t) + \vec{F}_{ij}^v(t)$$

Elasticity and viscosity force

$$\begin{cases} \vec{F}_{ij}^e(t) &= k_{ij} \left(\|\vec{P}_j(t) - \vec{P}_i(t)\| - l_{ij} \right) \vec{u}_{ij}(t) \\ \vec{F}_{ij}^v(t) &= \gamma_{ij} \left(\vec{V}_j(t) - \vec{V}_i(t) \right) \cdot \vec{u}_{ij}(t) \vec{u}_{ij}(t) \end{cases}$$

k_{ij} : stiffness, l_{ij} : initial length, $\gamma_{ij} = 2\sqrt{\frac{m_i+m_j}{2}}$ k_{ij} : damping coefficient

$\vec{P}_i(t)$ and $\vec{V}_i(t)$: position and velocity of particle i ; $\vec{u}_{ij}(t) = \frac{\vec{P}_j(t) - \vec{P}_i(t)}{\|\vec{P}_j(t) - \vec{P}_i(t)\|}$

Simulation loop



Physical model

Euler semi-implicit

2. Calculate acceleration with Newton's law $m_i \frac{d^2}{dt^2} \mathbf{P}_i(t) = \mathbf{F}_i(t)$
3. Integrate to obtain velocity and position

$$\begin{cases} \frac{d}{dt} \vec{P}_i(t+h) &= \frac{d}{dt} \vec{P}_i(t) + h \frac{d^2}{dt^2} \vec{P}_i(t) \\ \vec{P}_i(t+h) &= \vec{P}_i(t) + h \frac{d}{dt} \vec{P}_i(t+h) \end{cases}$$

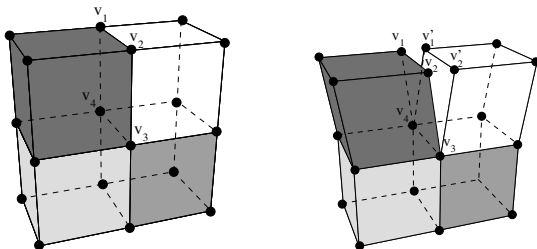
Euler implicit

2.  For each spring, fill stiffness matrix : $\partial F / \partial P$
 Conjugate gradient method
3. Calculate velocity and integrate to obtain position

$$\left(M - h \frac{\partial F(t)}{\partial V(t)} - h^2 \frac{\partial F(t)}{\partial P(t)} \right) \Delta V = h F(t) + h^2 \frac{\partial F(t)}{\partial P(t)} V(t)$$

Topological change

Cutting



Cutting along faces of mesh

Unglue two 3-cells along 2-cell

- ≡ Unlink β_3 pointers

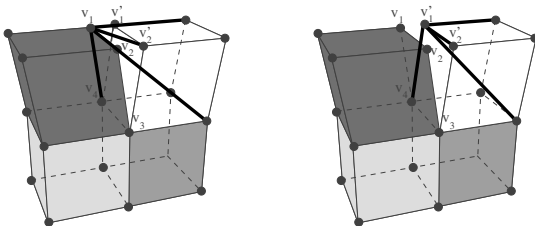
- ≡ Duplicate

- 0-cell : v_1 and v_2

- 1-cell : (v_4, v_1) , (v_1, v_2) and (v_2, v_3)

Topological change

Cutting



- Create v'_1 : information duplicated from v_1
- For each pair of splitted cells
 - 0 – cell : initialize index, update masses, diagonal springs...
 - 1 – cell : extremities of spring...
- Re-size data structure as global stiffness matrix

4. Conclusion / Travaux Futurs

- 1 Les Cartes Combinatoires
- 2 Modules CGAL Développés
- 3 Modèle Physique
- 4 Conclusion / Travaux Futurs**

Conclusion (CGAL)

Résultats

- Deux modules pour manipuler des d -cartes avec ou sans plongement

<http://www.cgal.org/Pkg/CombinatorialMaps>

<http://www.cgal.org/Pkg/LinearCellComplex>

- Générique (dimension) et paramétrables (brins/attributs)
- Itérateurs, opérations de base, modifications

Intérêts

- Permettre la factorisation de plusieurs codes existants
- Peut servir de brique de base pour des applications graphiques
modeleur de bâtiment, segmentation d'images 2D et 3D...

Conclusion (Toposim)

Résultats

- Modèle hybride : MSS + LCC pour la simulation physique
- Boucle de simulation totalement intégrée
- Découpe topologique avec mise à jour locale des information

Intérêts

- Généricité : type de cellules et attributs
- Utilisation des relations d'incidences et d'adjacence
- Contrôle de la validité topologique des objets

Travaux Futurs (CGAL)

Enrichir les deux modules

- Ajouter de nouvelles opérations
- Étendre certaines fonctionnalités
save/load générique, attributs dynamiques, utilisation d'index...

Porter nos logiciels

- Moka, CarteTopo2D et 3D

Nouveaux projets

- Analyse de vidéo...

Travaux Futurs (Toposim)

- D'autres types de découpes (par ex. déchirure)
- Optimisations
- Parallélisation
- Gestion des cellules de topologie quelconques
- Modèles multi-échelle
- Raffinement/dé-raffinement automatique durant la simulation

Modèle topologique générique pour la simulation physique

Guillaume Damiand, Elsa Fléchon, Fabrice Jaillet, Florence Zara

Université de Lyon, CNRS, LIRIS, UMR5205, F-69622 France

<http://liris.cnrs.fr>

<http://www.cgal.org>

